

個体群の世代の重りの程度と安定性 との関係について

佐々木大 教学 山村則男

1. 序論

個体数の変動を記述する数学モデルのうち、最も簡単なものは、常微分方程式と差分方程式である。前者は、世代が重りあってはる個体群について用いられ (Volterra, 1931; Lotka, 1925)、後者は世代が完全に分離してある場合に用いられる (Nicholson & Bailey, 1935)。これらの単純なモデルは、その後、盛んに用いられ、多くの成果を上げてある。

しかし、世代が重りてある個体群をより正確に記述するには、年令構造を取り入れた定式化が必要である (Leslie, 1945, Lotka, 1925)。このとき、産出率および死亡率は各年令ごとに与えらるることになる。これらのパラメータは密度依存性をなけば、年令構造は定常分布に収束し、総個体数が常微分方程式で記述できる。もし、密度依存性がない、一般には、年令分布は一定にならず、常微分方程式によ

3記述は、近似的にしか成立しませんでした。また、これはの年令構造の複雑性をさけたため、実際に世代加重、 γ 、 α 、世代が分離してのモデルで代用することはよくあります。

そこで、我々は、年令構造を最小限に含む簡単なモデルによつて、個体数の変動と表式を検討していきます。この式は、考慮している種が簡単な生活環を持つと仮定して求められるもので、世代の重りの程度を表すパラメータを含んでいます。このパラメータは両極端において、この式が、常微分方程式および差分方程式にならうに構成されます。これは、時間よくかかるパラメータを含んで差分微分方程式となるが、この変動の安定性と世代の重りの程度がいかに関係しているかを調べよう。

まず工種の場合につれて考察し、次に简单な関係による2種の場合について考察する。

2. モデルの構成。(1種の場合)

我々は、次のように簡単な生活史を持つ生物種を考えます。親によって産出される各個体は、一定の成長期間Tのうちに成熟して子を産すようにします。成熟した種は、一定の死亡率を持ち、生存している限り、一定の割合で子供を産みづけます。産出の時点で成達個体の密度依存性があり、

成育期間中に、密度依存的と死亡率によるがである。このとき成育期間における密度依存的死滅は、同令個体間の競争によるものと仮定する。

大人の個体数を $N(t)$ と表すと、個体数の変動は、

$$\frac{dN(t)}{dt} = f(t) - g(t) \quad (1)$$

と表される。ただし、 $f(t)$ は 小供から大人に至る割合。

$g(t)$ は大人の死滅率である。

児の死滅率一定の仮定により、 $g(t) = dN(t)$ と表される。
成育個体における死滅率一定性は、広く野外の個体群では成立しないと思われる。例えば、Pearl (1928) の分類の II, III 型がこれである。死滅率一定の場合の令類式は
 $N(s) = N_0 e^{-ds}$ となる。 $\ln N_0 \approx s$ の関係が直線となる。
死滅率 d の逆数が大人の平均寿命である。平均産子期間である。 τ と $\tau (=1/d)$ を書く。

$f(t)$ は、 $t - T_0$ における大人から産入の子供の数の関数である。
この半位数は、 $X(t-T_0) = F_R(N(t-T_0))$ といふとする。
大人の半位数である。 $\tau = \tau$ 。成長のときの死滅率を表すか
する個体数は、 $f(t) = F_D(X(t-T_0)) = F_D(F_R(N(t-T_0)))$
である。 τ と τ 。

$$f(t) = \frac{1}{2} \cdot \bar{f}(N(t-T_0)) \quad (2)$$

と書く。である。

$$\gamma \cdot \frac{dN(t)}{dt} = F(N(t-T_0)) - N(t) \quad (3)$$

と書くとかでよい。これは、遅れのパラメータを含んだ
差分微分方程式である。

遅れのパラメータを含む微分方程式は、これまで個体群
の変化を表すために取り入れられ、安定性に関する議論もさ
れていた。(May et.al., 1974)しかし、これまでの成育
期間が増殖率に遅れの効果を及ぼす場合とすると遅れと1で
現れていて、遅れのパラメータを入れること。或いは、半純
であります。つまりして生活環を持つ種の特徴か; 寄生虫
モードである。しかし、式(3)は、通常の微分方程式より差分
方程式モデルの取扱い上でも含んでよいのである。

我々のモデルでは、世代の重りは、大人が誕生まで、そ
の間に子を産みつけた年から生じる。一年に複数の世代
をもつ昆虫では、春に最初の世代におよび、年令が3歳、4
歳、5歳など、一世代が重なる場合がある。この重り
の結果は、大人の平均寿命に対する半純の成育期間の比に因

併て μ はすこし大きめ、我々は、世代の重りの程度を表す。

$$\leq \lambda - \mu \approx 1/2.$$

$$g = \frac{T}{T_D} \quad (4)$$

と定義する。

$g=0$ は死滅 \rightarrow 、(3)式 \rightarrow $N=0$ とかけよう。

$$N(t) = F(N(t-T_D)) \quad (5)$$

となり、これは世代が分離 \rightarrow の場合、差分方程式となる。 (3)式と(5)式の解、類似性 \rightarrow の、少々数学的議論が、Heiden (1979) によると述べられてる。

$g=\infty$ は死滅 \rightarrow 、(3)式 \rightarrow $T=0$ とかけよう。

$$\frac{dN(t)}{dt} = \frac{1}{2} F(N(t)) - \frac{1}{2} N(t) \quad (6)$$

となり、常微分方程式となる。

上述の意味で、(3)式は、 $g \approx 1.0$ より $\lambda - \mu < 1/2$ 、世代が分離 \rightarrow の場合、完全に重複 \rightarrow のも、すべて含んで一般的な方程式であると言える。

(6)式によれば関数 $F(N)$ は世代間の個体数の関係を示す式である。 Reproduction Curve と呼ぶべきである。我々は、直角座標系上に、成長期の競争によつて、 N が増加する \rightarrow

上式は、増殖率が減少するモデルを表すことを示す。この形は、図1のI, IIのようになるものとする。I, IIの形は、Nicholson (1954) によると指進である。“contest型”と“scramble型”的競争はこれである。

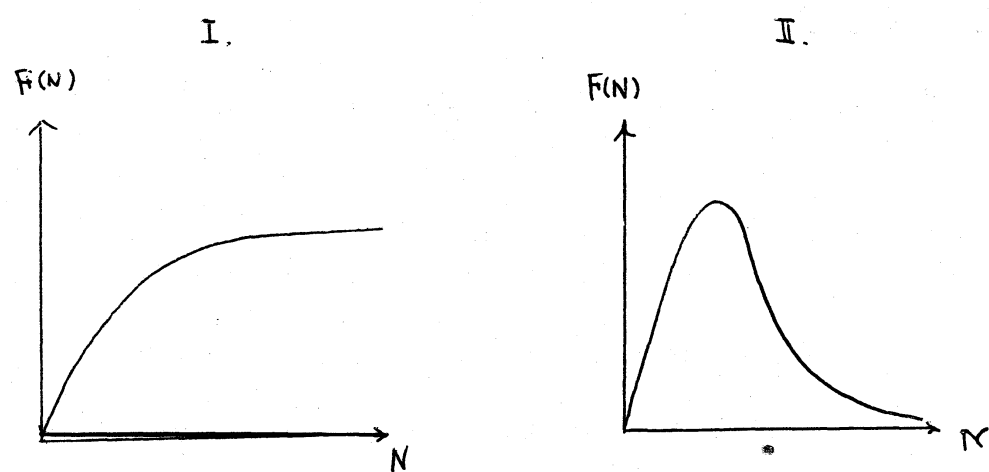


図1. Reproduction Curve の 2 型。I は Contest 型, II は Scramble 型。

I の場合、(5)式の解は平衡点は一様に近づく傾向。強化競争（並たみみの）が弱く II の場合は、周期運動、非同期運動を含む複雑な変化が起る（May & Oster, 1976; May, 1975）。

3. 平衡点とその局所安定性

(3)式の平衡解を N^* とする。

$$F(N^*) - N^* = 0 \quad (7)$$

となるが、(7)式を満す N^* は、もちろん、(5)式、(6)式のうちの平衡解である。この解は、図 1 によると I, II の各々 α と β を通る直線の交点の N 座標である。今、この交点は $\alpha > \beta$ と仮定する。

この平衡解の安定性は次のようして決定される。

$$x = N - N^* \quad (8)$$

と置き、(3)式に代入して Taylor 展開し、 x の一次の項のみを書き出すと、

$$\tau \frac{dx}{dt} = \alpha x(t-T) - x \quad (9)$$

となる。

$$\alpha = F'(N^*) \quad (10)$$

である。 $N^* \rightarrow 1$ のとき

$$-\infty < \alpha < 1 \quad (11)$$

となる。この α の値は 1 よりは、(6)式の場合には常に安定となり、任意の初期値から発展する $N(t)$ は、单調に $N^* = 1$ 附近

す。 (5) 式の場合の安定性の条件は、 $-1 < \alpha < 1$ であり、
 $0 \leq \alpha < 1$ のときは、单调減衰、 $-1 < \alpha < 0$ のときは、振動的減衰である。当りの I 型では、 $0 < \alpha < 1$ のときは单调減衰である。

(6) 式の形の安定性は $\gamma = -\alpha$ に α の値を代入し、 $g = \sqrt{\gamma}$
 α の値が関する $1 > \alpha > 3$ 。 Maynard Smith (1974) と同じ計算によると
 次の結果を得る。

$$-k_1(g) \leq \alpha < 1 \quad \text{または} \quad \text{单调減衰 (安定)}$$

$$-k_2(g) < \alpha < -k_1(g) \quad \text{または} \quad \text{振動減衰 (安定)}$$

$$-\infty < \alpha < -k_2(g) \quad \text{または} \quad \text{振動発散 (不安定)}$$

ただし、 $k_1(g)$, $k_2(g)$ は g の増加によって増加する。

$$k_1(g) = g e^{-(1+\frac{1}{g})} \quad (12)$$

であり、 $k_2(g)$ は、次の r を媒介変数 $1 = 1 + \frac{1}{g}$ として
 3.

$$\begin{cases} g = -\frac{\tan \gamma}{\gamma} & (\frac{\pi}{2} \leq \gamma < \pi) \\ k_2 = -\frac{1}{\cos \gamma} \end{cases} \quad (13)$$

$g \rightarrow +0$ とすると、 $k_1(+0) = 0$; $k_2(+0) = 1$ となる。
 (5) 式の安定性の条件は $-3 < \alpha < 3$ 。

$g \rightarrow +\infty$ とすると、 $k_1(\infty) = \infty$ となり、(6) 式の安定性

と同様に図3. (Q, g) 空間での安定性の分類は、図2のよう
く表現できます。

Stability Region

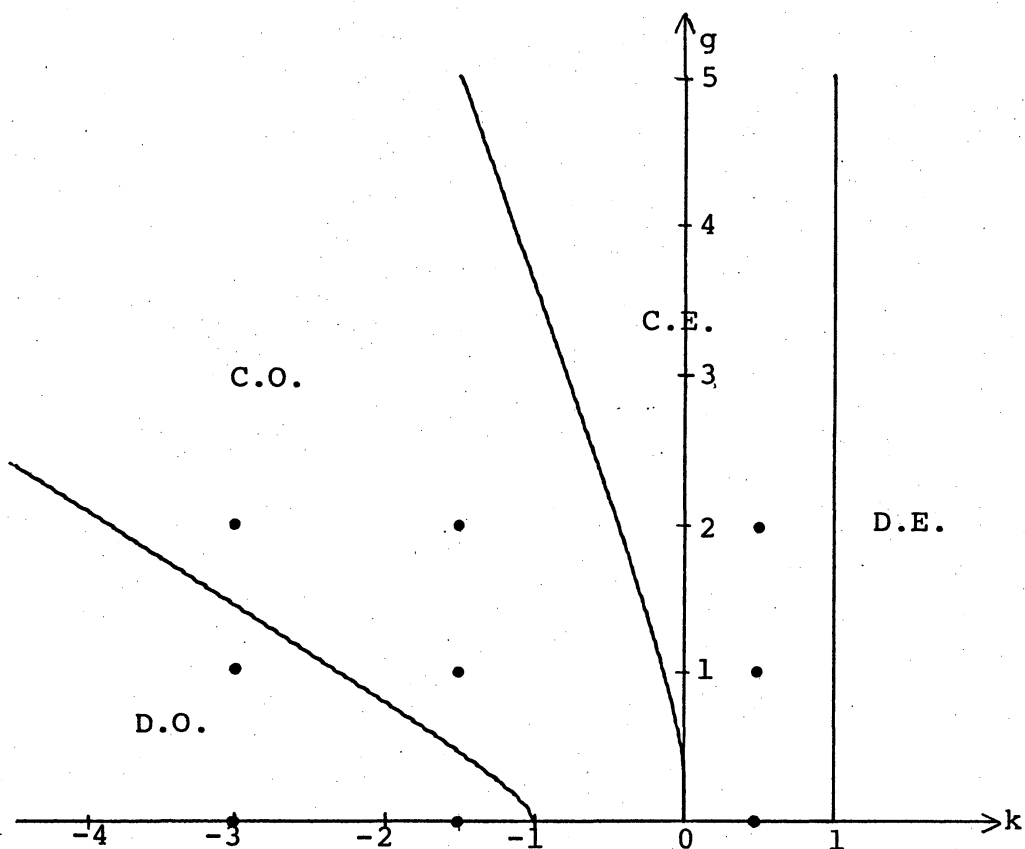


図2. (Q, g) 空間における2.3式の平行線の局所安定性
の分類。

上の結果は、世代の重り α が大きいほど安定領域が拡大する
こと、 β が大きいほど、安定性が弱くなることが示す。

平衡点が安定なときは、固有値の実数部が負の値と見て
よいが、この値は $-\alpha < \beta < 0$ と、半調減衰のときと

$$x(t) = x(0) e^{-\alpha t} \quad (15)$$

となる、振動減衰のときと。

$$x(t) = x(0) e^{-\alpha t} \{ c_1 \cos \beta t + (c_2 - \beta t) \} \quad (16)$$

となる。平衡点に鄰近してゆく速さ。 $\beta^2 > \alpha^2$ とすると、
 α を取ると $\beta^2 - \alpha^2 = \gamma^2$ となる。 α を β の関数として、様々な α
の値に対する β の値を表すと、図3、図4のようになる。ただし
し、 α の値は、 k , g の値の半分以上では立たず、 $\alpha + T$
の値はもよろしくて、 $\alpha + T = 2$ (図3) の場合、 $T = 1$ (図4)
の場合を補い下。図3では、平均寿命一定とし、図4では
成長期間一定として、 g における安定性の強さがどう変わ
かるかを見る = とがてと。この時の場合は、V字型の曲線に
よる。Vの左側が、半調減衰、右側が振動減衰であると
いふ。 $= \alpha < 0$ の時は、振動減衰における g が増すと、 α は下りるが、
安定化する。しかし g を少し増加させると α は下りて β が
不安定化する傾向がある。図3

g を増すと、 $\beta^2 > \alpha^2$ が成り立つと意味では、安定
性は増すが、 α の増減による意味では、 g を増すと α が、父
とも、安定性を増すことはない。

Stability Intensity

$$T_D + T_A = 2, \quad g = T_A / T_D$$

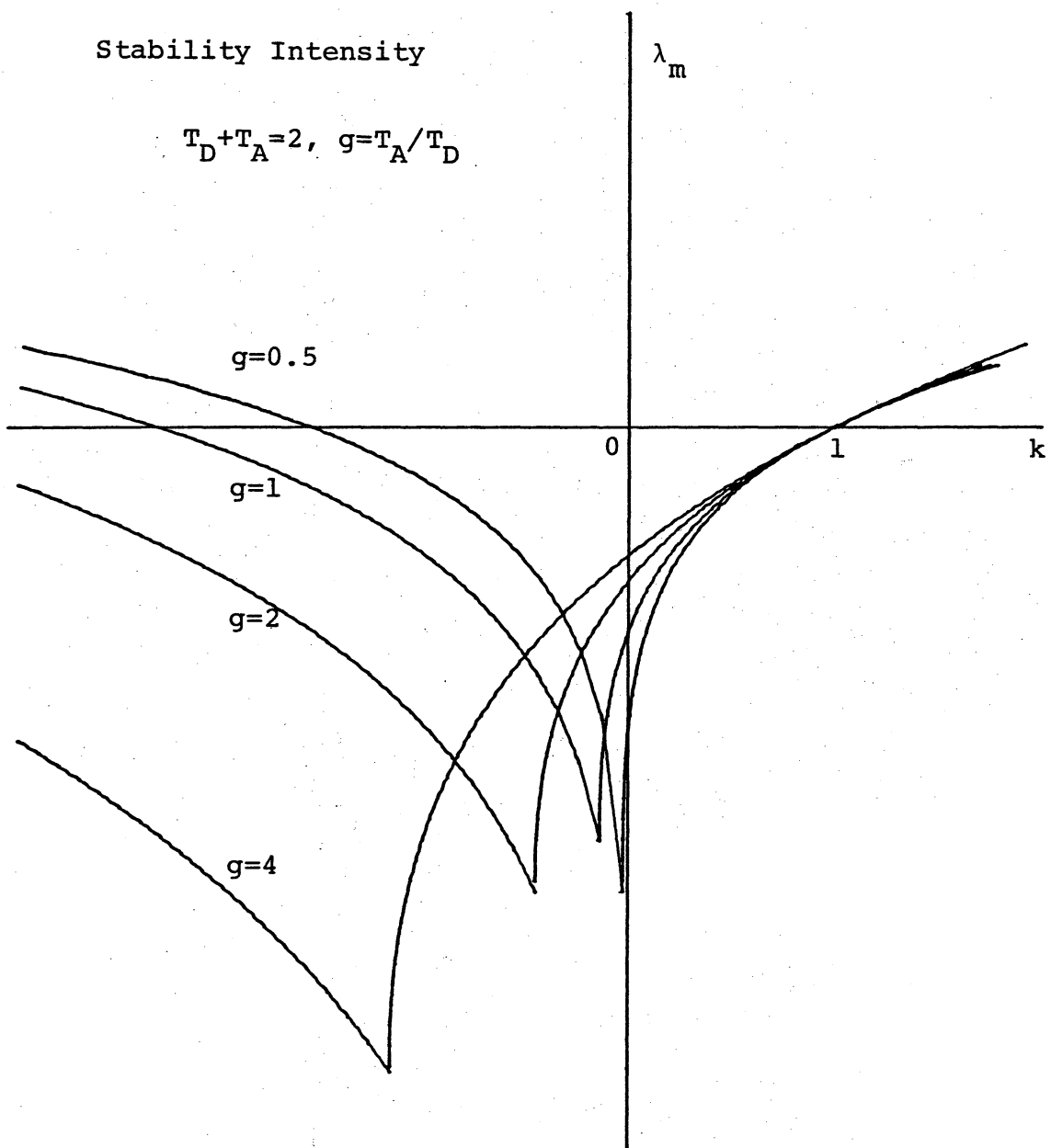


図 3

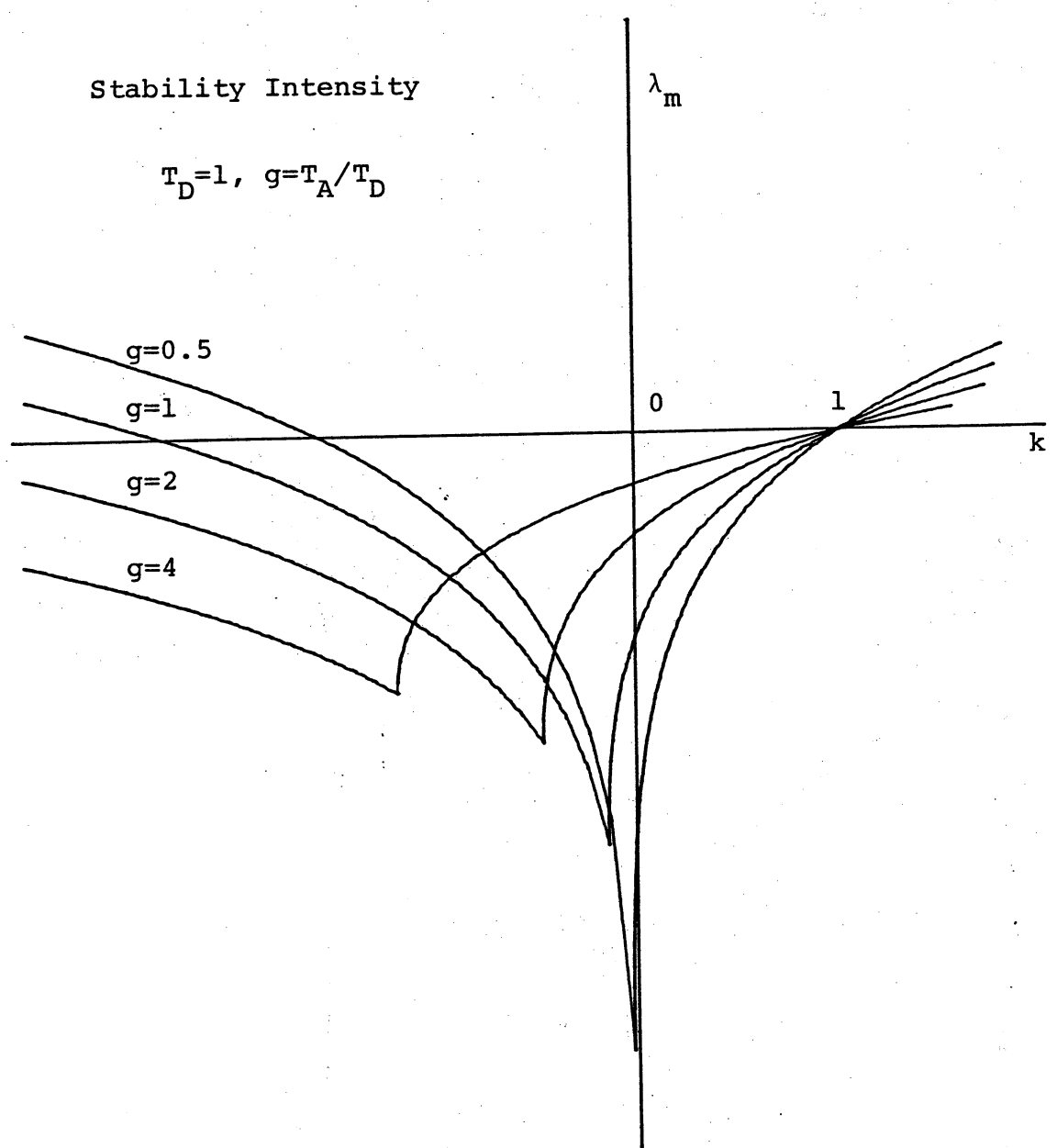


图4

4. 数値計算

我々は、図2のⅡ型の曲線を。

$$F(N) = N \exp\left\{r\left(1 - \frac{N}{K}\right)\right\} \quad (17)$$

表現して、数値計算を行なふ。

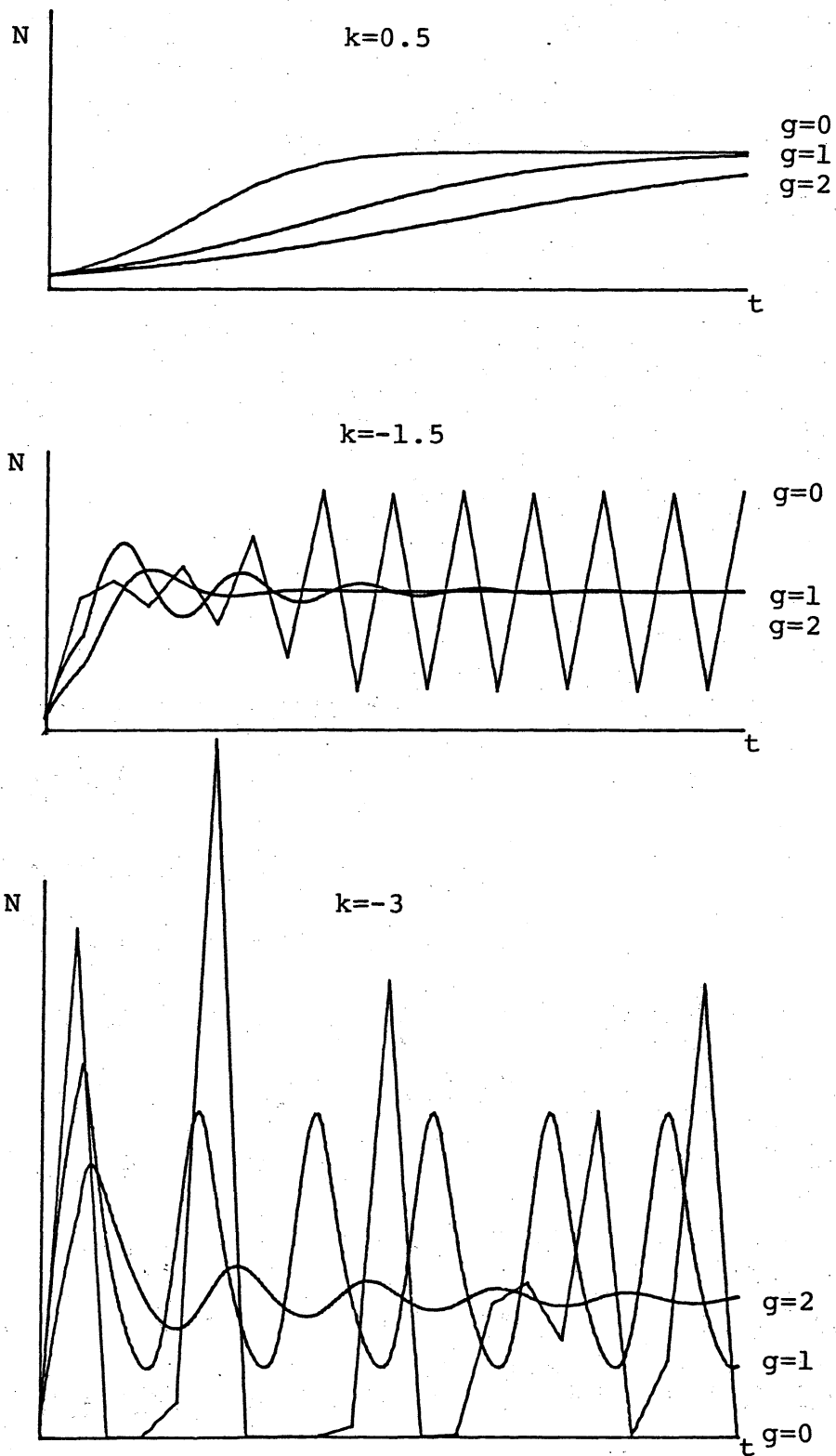
$$= a \approx 1, N^* = K \text{ である。 } a = F(N^*) = 1 - r$$

とある。図2の領域の中を行なふ2点における、 (x, y) の値が書いてある。この他の 10° 3メータ、 $T = 1$, $K = 100$ 初期値は、 $0 \leq t < 0.12$ 时 $N(t) = 10$ である。

図5(a)は、 y の値が常に12である、平衡上への漸近が近づく。
(b), (c)は、 $y = 0$ のとき周期運動(2点リミットサイクル)であるが、 y が常に2である、減衰振動へと変化する。
(c)では、 $y = 0$ の Chaitin の振動である。
また、 $y = 12$ の Limit Cycle, $x \rightarrow y = 2$ の漸近振動は、 $y = 12$ の振動によって反映されているようである。

つまり、振動についてのものに対しては、世代の重りの効果は、個体数の平均化による作用によつて、変動を安定化させると、单调減衰、パルスなどの形となる。世代の重りの効果は必ずとも、安定化に効かず、逆に、不安定化(漸近速度が遅くなる)に導くする傾向がある。

Numerical Simulations



5. 2種間の競争

1種のとき β を仮定する生活環境で、2種間の競争を考へよう。種1, 2の成育期間を T_1, T_2 とし、 β 成体の平均寿命を τ_1, τ_2 とし $\beta+3$ 。2種間の競争は、成体間の繁殖競争および、同じ個体の幼体間の競争だけであるとする。 β の假定のもとで、種1, 2の成体個体数を $N_1(t), N_2(t)$ とすれば、次の式が成立する。

$$\tau_1 \frac{dN_1(t)}{dt} = F_1(N_1(t-T_1), N_2(t-T_1)) - N_1(t) \quad (18)$$

$$\tau_2 \frac{dN_2(t)}{dt} = F_2(N_1(t-T_2), N_2(t-T_2)) - N_2(t) \quad (19)$$

式(18), $T_1 = T_2$, $\tau_1 = \tau_2 = 0$ とするは、建立差分方程式となり、 $T_1 = T_2 = 0$ とするは、建立微分方程式となり、このうち、世代部分離（2個体に全く同一の条件で競争する場合） $\tau_1 = \tau_2 = 0$ とするは、世代部分離の競争関係は Hassell & Comins (1976) によれば、 $\tau_1 = \tau_2 = T$ と置く。

この場合は、生活環境の似た2種の競争を考へる。

$$\tau_1 = \tau_2 = T, T_1 = T_2 = T \text{ と置く}$$

1種の場合と同様に 1 種、平行点 (N_1^*, N_2^*) は、

$$F_1(N_1^*, N_2^*) = N_1^* \quad (20)$$

$$F_2(N_1^*, N_2^*) = N_2^* \quad (21)$$

を満たす。 $N_1 = N_1^* + x_1$, $N_2 = N_2^* + x_2$ と置き、 x_i の一次の
近似は $x_i \approx \dot{x}_i T$ である。

$$\tau \frac{dx_1(t)}{dt} = a x_1(t-T) + b x_2(t-T) - x_1(t) \quad (22)$$

$$\tau \frac{dx_2(t)}{dt} = c x_1(t-T) + d x_2(t-T) - x_2(t) \quad (23)$$

$$\therefore \tau = T, \quad a = \frac{\partial F_1(N_1^*, N_2^*)}{\partial N_1}, \quad b = \frac{\partial F_1(N_1^*, N_2^*)}{\partial N_2}, \quad c = \frac{\partial F_2(N_1^*, N_2^*)}{\partial N_1}$$

$$d = \frac{\partial F_2(N_1^*, N_2^*)}{\partial N_2} \quad \tau \neq 3,$$

この式の個々方程式は、個々恒等式となる。

$$\xi = (1 + \tau \lambda) e^{T\lambda} - 1 \quad (24)$$

$\tau < 3$ 。

$$\xi^2 - (a+1-\tau) \xi + \cancel{abc} (a-1)(d-1) - bc = 0 \quad (25)$$

$T=0$ のとき $\lambda = \xi$ であり、(25) の固有方程式を解く
。 $\tau > 3$ のとき、(25) 式の 2 次の実数部が負である \Rightarrow が局所安定性の条件である。

$\tau = 0$ のときは、 $\xi = e^{T\lambda} = 1$ かつ $\lambda = 0$ が既に $\lambda + 1 = 1$ の絶対値より $\lambda + 1 > 1$ となるので、(25) の条件を満たす。

$$\tau \lambda = g \text{ とおいた時}, \quad \xi = (1 + g) e^{\frac{1}{g} g} - 1, \quad g = \frac{\tau}{T}$$

となるが、相互作用の性質から決して (25) 式の 2 次 ξ_1, ξ_2

したがって、 ρ 加速子小川、 ρ 加速子、 ρ の実数部を足すと
この角階安定性が決定される。この意味で、複素面、 \Re 、 ρ
の実数部、 ρ はすべて決定されたり、安定性の $\rho = \rho_0$ は復
数軸から離れてきた。したがって、 ρ の実数部

$$\Re = (1 + \rho) e^{\frac{1}{2} \rho} - 1 \quad (26)$$

は、図 6 を示すように $\Re > 0$ の部分、 ρ の右反面か、兩滴形の領域 G
の外側へと離れてきた。従って G の内部に \Re_1, \Re_2 から ρ が
近づいた ρ の値（一般には多価関数）の実数部は、必ず負にな
る。(N_1^+, N_2^+) は角階安定である。

今 G の形は、 ρ の値 $\rho_1 < \rho_2$ たり、 $\rho = \infty$ では、左
半面極点、 $\rho = 0$ では、 $(-1, 0)$ を中心とする半径 1 の円、 ρ
が十分の値では、兩滴形 $=$ なり、 $\rho_1 > \rho_2$ とすれば、 $G(\rho_1) >$
 $G(\rho_2)$ となる。

つまり、 $a, b, c, d \approx 11^\circ$ で $-\pi/2$ 附近で ρ の安定範
囲が、 ρ の增加の度合、 ρ の増加の度合 $< \pi/2$ である意味
で、 ρ の増加は安定化への手助け $=$ である。

a, b, c, d が G の内部分 \Re_1, \Re_2 に含まれる場合に、素因
子定理が成り立つ ($\rho \approx 17^\circ$ で $\pi/2$ 附近)、 G の領域がセグメント
 $\cdot \Re_1, \Re_2$ が G の境界を構成する $\approx 12^\circ$ である。このとき

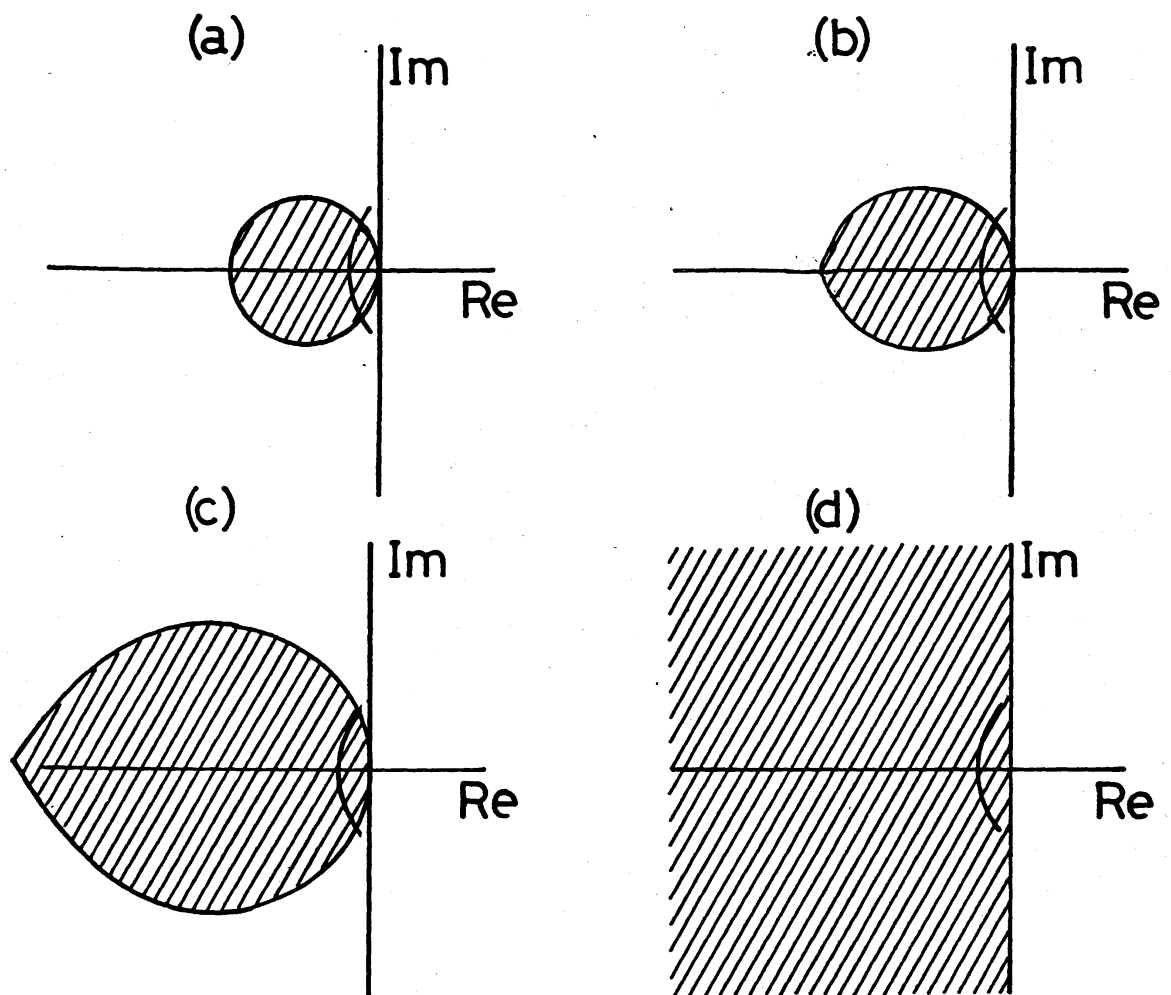


図6. 3空間への安定領域. (a) $g=0$ (b) $g=0.4$
(c) $g=2$. (d) $g=\infty$

Hopf の定理 (Marsden & McCracken, 1976) によく、 Γ の境附近
傍の \mathbb{P}^1 上に一つの周期的解が存在する。このとき
、振動減衰が振動発散に変わるととき、周期解がリミットサイ
クルになる。

もし、 β_1, β_2 が実数であるならば、1種の場合と同じよう
に、固有値の大きさによっての議論が成立する。つまり、一世
代の重りが増すにつれて、振動は安定化するが、半減速度の
速さは遅くなる。

6. 考察

我々の提出したモデルと同一形式、つまり差分微分方程式
によつて、個体群密度の変化の様相を研究して往事けた。
このとき、時間かくれのパラメータは、生長や、資源の回復
などの一般的な率を代表して増殖率に入れてある場合が多い
。例えば May et al (1974) は、

$$\frac{dN(t)}{dt} = [g(N(t-T))] N(t) \quad (27)$$

の形の式を研究している。ただし、式(27)と(3)式とでは β_2 と
 γ の T 、 T は必ずしも局所安定の条件を満たさない。

我々のモデルでは、成長期間一定、成体の死滅率および産
出率一定とする单纯でないが、明確な生活環を持つ、生

物を想定して、差分微分方程式で書かれてある。これゆえ、成育期間と成体の平均生存期間の比である。世代の重りの経度を代表する示数で定義でき、この示数と安定性との関係を議論できることである。

我々のモデルは、もしも現実的なら、レスリー・マトリックスの密度効率を入力で、Levin & Goodyear (1980) のモデルに近い。これは、年令構造と離散的生存率、密度効率は、初期年令の死亡率を入力でいい。従って、安定性の計算式より、数値計算を(2-1)か、この結果を、世代の重りの経度と安定性との関係から見ることも可能である。

2種間の競争モデル (18), (19) は、2種類の関係が、繁殖等によらず、特定の年に限られる場合と場合に2種類の関係を適用できる。実際、このモデルの形式は、Yamamura & Iwahashi (1981) によれば、果実寄生者とその盗食寄生者との関係を表すのに用いられた。

実際のある種の生物の個体数変動の予測をするために、モデルを構成する場合、2つの要求が求められる。一つは、右のようなく現実に近くするための、複雑なモデルを作ることである。二つ目は、データを取るコストを最小にするための簡単なモデルを作ることである。このようにして、世代加重、2-1ときたく、我々のモデルの仮定が近似的に満たさない場合

らば、予測モデルヒトの効力を發揮するこ思ひ。しかし、モル世代の重りの程度に入れて、差分方程式で近似計算今お経式で近似してかどうかを判定する目安はもな

るべよ。

本文(3)式の形のモデルは、Mackey & Glass (1977) が、造血モデルとして用ひた。=0とき適當な $F(N)$ は3.17、Tの増加に従う経式の所を、安定漸近解が3、周期解、そして非周期解(chaos)と移行してゆくことを計算実験によつて示した。

文 献

- Hassel, M.P. and Comins, H.N. (1976) "Discrete Time Models for Two-Species Competition." *Theor. Pop. Biol.* 9, 202-221
- Heiden, V. (1979) "Delays in Physiological Systems" *J. Math. Biology* 8, 345-364
- Leslie, P.H. (1945) "On the Use of Matrices in Certain Population Mathematics." *Biometrika* 33, Part 3, 183-212
- Levin, S.A. and Goodyear, C.P. (1980) "Analysis of an Age-Structured Fishery Model." *J. Math. Biology* 9, 245-247
- Lotka, A.J. (1925) "Elements of Physical Biology." Williams and Wilkins, Baltimore. (reissued Dover (1956) Elements of mathematical Biology)
- Mackey, M.C. and Glass, L. (1977) "Oscillation and Chaos in Physiological Control Systems." *Science* 197, 287-289.
- Marsden, J.E. and McCracken ed. (1976) "The Hopf Bifurcation and Its Applications" Applied Mathematical Sciences 19.
- May, R.M., Connell, G.R., Hasselle, M.P., Southwood, T.R.E. (1974) "Time Delays, Density Dependence and Single-species Oscillations." *J. Anim. Ecol.* 43, 747-770.
- May, M.R. (1975) "Biological Populations Obeying Difference Equations: Stable Points, Stable Cycles, and Chaos" *J. of Theoretical Biology* 51, 511-524.
- May, M.R. and Oster, G.F. (1976) "Bifurcations and Dynamic Complexity in Simple Ecological Models" *American Naturalist*, 110.

Maynard Smith, J. (1973) "Models in Ecology" Cambridge Univ. Press, London. 43-46.

Nicholson, A.J. and Bailey, V.A. (1935) "The Balance of Animal Populations Part 1." Proc. Zool. Soc., London. Part 3, 551-598.

Nicholson, A.J. (1954) "An Outline of the Dynamics of Animal Populations" Aust. J. Zool. 2, 9-65.

Pearl, R. (1928) "The Rate of Living" Knopf, N.Y.

Volterra, V. (1926) "Variazioni e fluttuazioni del numero d'individui in specie animali convienti. "Mem. Acad.

Lincie, 2, 31-113. (translation by Chapman, R.N.

(1931) "Animal Ecology" McGrawhill, N.Y. 409-448)

Yamamura, N. and Iwahashi, O. "Stabilization of a Population of a Parasite on Fruits by the Population of a Cleod-Parasite" submitted to Researches on Population Ecology.